
M2 IGI - UNIVERSITÉ LYON 1

RAPPORT DE STAGE

Rendu réalise et temps réel pour la réalité augmentée

Auteur :

Hadrien CROUBOIS
M2 IGI – UCBL - ENS de Lyon

Encadrants :

Jean-Philippe FARRUGIA
Maître de conférences, LIRIS / IUTa, université Lyon 1
Jean-Claude IEHL



Remerciements

Table des matières

Remerciements	i
1 Périphérique d'acquisition	2
1.1 Modèle	2
1.2 Calibration	2
1.3 Détails d'implémentation	2
2 Repérage dans l'espace	3
2.1 Hiérarchie de référentiels	3
2.2 Évaluation des transformations	3
2.2.1 Calibration de la camera	3
2.2.2 Identification des marqueurs	3
2.2.3 Models OpenCV / OpenGL	3
3 Les cartes d'environnement	4
3.1 Principe	4
3.2 Reconstruction dynamique	4
3.3 Détails d'implémentation	4
4 Rendu	5
4.1 Modèle théorique	5
4.2 État de l'art	5
4.3 Éclairage ambiant	5
4.3.1 De la physique aux mathématiques	5
4.3.2 Approximation numérique	6
4.3.3 Discussion	7
4.4 Ombrage	7
4.4.1 Modèle	7
4.4.2 Discussion	8
4.5 Reflets spéculaires	8
4.6 Vers un modèles à micro-facettes	8
4.7 Pipeline	8
4.8 Résultats	10
5 Precalcul	11
5.1 Éclairage ambiant sous forme de texture	11
5.2 Décomposition en spheres	11
6 L'application	12
6.1 Structure	12
6.2 Configuration	12
6.3 Résultats	12
7 Perspectives d'évolution	13
7.1 Acquisition HDR	13
7.2 BRDF anisotropes	13
7.3 Modèles dynamiques	13
A Annexes	I

Bibliographie	I
Liste des tableaux	III
Liste des exemples de code	V
Liste des figures	V

Périphérique d'acquisition

Partie 1.1

Modèle

Partie 1.2

Calibration

Partie 1.3

Détails d'implémentation

Repérage dans l'espace

Partie 2.1

Hierarchie de référentiels

Afin de mettre en place les différents mécanismes de repérage, il a été nécessaire de hiérarchiser les repères relatifs aux différents référentiels considérés.

Le référentiel principal est le référentiel du monde. Il est par définition fixe au cours du temps et est défini par rapport à la mire utilisée pour l'acquisition. Ce repère est centré au centre géométrique de la mire et servira aussi bien à positionner l'objet à afficher qu'à définir servir de référentiel de base pour l'EnvMap.

Les différentes faces de la mire sont elle même fixes dans le repère du monde car lié à l'objet physique (la mire) qui le définit. Les transformation entre le repère de chacune des faces de la mire et le repère du monde sont codées dans les marqueur présents sur les faces (matrice *model*).

Ainsi, ayant identifier une des faces à l'aide du marqueur présent sur cette dernière, il est possible, en appliquant la transformation codé par ce marqueur, de reconstruire le repère du monde.

L'interface d'acquisition est elle aussi repéré vis a vis du repère principal. La transformation entre ces deux repère est codé par la matrice *view* et changera au cours du temps, l'utilisateur se déplaçant par rapport à la mire.

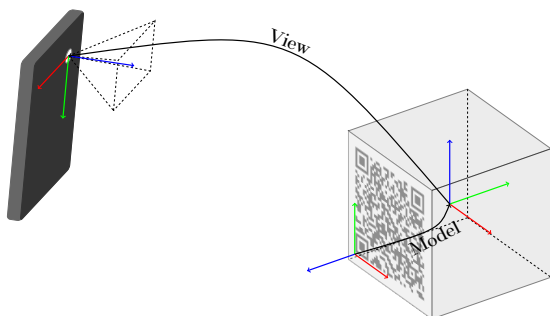


FIGURE 2.1 – Les différents référentiels

Les différentes cameras présentes sur l'interface d'acquisition seront à leur tour positionnées relativement à l'interface d'acquisition. Cette dernière transformation est disponible dans les fichiers de configurations de camera chargés au démarrage.

TABLE 2.1 Hierarchie des matrices de transformations

QRcode	
⇕	
Face	
$model^{-1}$ ↗	↘ $model$
Monde	
$view^{-1}$ ↗	↘ $view$
Smartphone	
$orientation^{-1}$ ↗	↘ $orientation$
Camera	
$cvToGl^{-1}$ ↗	↘ $cvToGl$
Vue OpenGL	
$projection^{-1}$ ↗	↘ $projection$
Image rendu	

Partie 2.2

Évaluation des transformations

Compte tenu de la hiérarchie de référentiel décrite dans la section précédente, il est nécessaire, pour décrire complètement le système, de décrire chacune des matrices de transformation.

2.2.1

Calibration de la camera

2.2.2

Identification des marqueurs

2.2.3

Models OpenCV / OpenGL

Les cartes d'environnement

Partie 3.1

Principe

Partie 3.2

Reconstruction dynamique

Partie 3.3

Détails d'implémentation

Rendu

Partie 4.1

Modèle théorique

Partie 4.2

État de l'art

Partie 4.3

Éclairage ambiant

4.3.1

De la physique aux mathématiques

Le calcul de l'énergie reçu en un point de l'objet revient à intégrer le flux lumineux sur l'ensemble des direction visibles.

$$\mathcal{E}(p, \vec{n}) = \frac{1}{\pi} \int_{\mathcal{H}^2(\vec{n})} \mathcal{L}(p, \vec{\omega}) \times \vec{\omega} \cdot \vec{n} d\vec{\omega} \quad (4.3.1.1)$$

L'intégrale selon $\int_{\mathcal{H}^2(\vec{n})} d\omega$ correspond à une intégrale suivant l'hémisphère visible et pondéré par l'angle solide en supposant qu'il n'y a pas d'occultation. Afin de modéliser les phénomènes d'auto-occultation on devra utiliser la formule suivante

$$\mathcal{E}(p, \vec{n}) = \frac{1}{\pi} \int_{\mathcal{V}(p, \vec{n})} \mathcal{L}(p, \vec{\omega}) \times \vec{\omega} \cdot \vec{n} d\vec{\omega} \quad (4.3.1.2)$$

Ou $\mathcal{V}(p, \vec{n})$ est la restriction de l'hémisphère suivant le vecteur \vec{n} à l'espace effectivement visible depuis le point p (ce qui revient à considérer $\mathcal{H}(\vec{n})$ privée des direction correspondants à de l'auto-occultation).

Ici on fait d'abord la supposition que l'éclairement selon une direction $\vec{\omega}$ est indépendant du point considéré. Cette approximation, est nécessaire pour utiliser, sans reconstruction 3D complexe, l'envmap reconstruite dynamiquement.

On obtient donc l'équation

$$\mathcal{E}(p, \vec{n}) = \frac{1}{\pi} \int_{\mathcal{V}(p, \vec{n})} \mathcal{L}_{glob}(\vec{\omega}) \times \vec{\omega} \cdot \vec{n} d\vec{\omega} \quad (4.3.1.3)$$

On fait alors la supposition que les phénomènes d'auto-occultation influencent de manière moyenne et globale l'énergie reçu en un point. Cela nous permet de revenir à une intégration sur tout le demi espace $\mathcal{H}^2(\vec{n})$ en ajoutant simplement un coefficient de $\mathcal{P}_{\mathcal{V}}(p)$ valant 1 en l'absence d'auto-occultation et 0 pour une auto-occultation totale.

Ce coefficient définit sur la surface de l'objet pourra être pré-calculé et fournit sous forme de texture.

$$\begin{aligned} \mathcal{P}_{\mathcal{V}}(p) &= \frac{\int_{\mathcal{V}(p, \vec{n}(p))} \vec{\omega} \cdot \vec{n} d\vec{\omega}}{\int_{\mathcal{H}^2(\vec{n}(p))} \vec{\omega} \cdot \vec{n} d\vec{\omega}} \\ &= \frac{1}{\pi} \int_{\mathcal{V}(p, \vec{n}(p))} \vec{\omega} \cdot \vec{n} d\vec{\omega} \end{aligned} \quad (4.3.1.4)$$

d'où

$$\mathcal{E}(p, \vec{n}) = \frac{\mathcal{P}_{\mathcal{V}}(p)}{\pi} \int_{\mathcal{H}(p, \vec{n})} \mathcal{L}_{glob}(\vec{\omega}) \times \vec{\omega} \cdot \vec{n} d\vec{\omega} \quad (4.3.1.5)$$

Enfin, on fera une dernière approximation suivant la méthode proposé dans [Mcguire et al., 2013] : on considère la fonction \mathcal{L}_{glob} (décrite par l'envmap) comme constante sur chaque face de l'envmap. Le niveau de mipmap le moins détaillé nous donne en effet une valeur moyenne pour la face considérée.

Si l'on oublie un instants les problèmes d'auto-occultation et que l'on s'intéresse à l'angle solide décrit par une face du cube centrée au point de vue, un rapide calcul permet d'évaluer l'angle solide décrit par une face complètement visible comme étant

$$\Omega_F = \iint_F \frac{1}{\|\vec{\omega}\|^3} d\omega = \frac{2\pi}{3} \quad (4.3.1.6)$$

L'angle solide sur une face partiellement visible (selon une demi sphère caractérisée par l'hyperplan de vecteur \vec{n}) est alors défini par

$$\Omega_F(\vec{n}) = \iint_F \frac{\text{HS}(\vec{\omega} \cdot \vec{n})}{\|\vec{\omega}\|^3} d\omega \quad (4.3.1.7)$$

Avec HS la fonction de HeavySide définie par :

$$\text{HS}(x) = \begin{cases} 0 & \text{si } x < 0 \\ 1 & \text{si } x \geq 0 \end{cases}$$

La figure 4.1 retrace l'évolution de $\Omega_F(\vec{n})$ selon l'angle θ pour des orientation de $\phi = 0$ et $\phi = \frac{\pi}{2}$

Les poids affectés aux valeurs de chaque face de l'envmap sont donc l'intégration du produit scalaire normalisé $\frac{\vec{\omega} \cdot \vec{n}}{\|\vec{\omega}\|}$ par rapport à l'angle solide sur la face considéré

$$\begin{aligned} W_F(\vec{n}) &= \iint_F \frac{\vec{\omega} \cdot \vec{n}}{\|\vec{\omega}\|} \times \frac{\text{HS}(\vec{\omega} \cdot \vec{n})}{\|\vec{\omega}\|^3} d\omega \\ &= \iint_F \frac{\vec{\omega} \cdot \vec{n} \times \text{HS}(\vec{\omega} \cdot \vec{n})}{\|\vec{\omega}\|^4} d\omega \end{aligned} \quad (4.3.1.8)$$

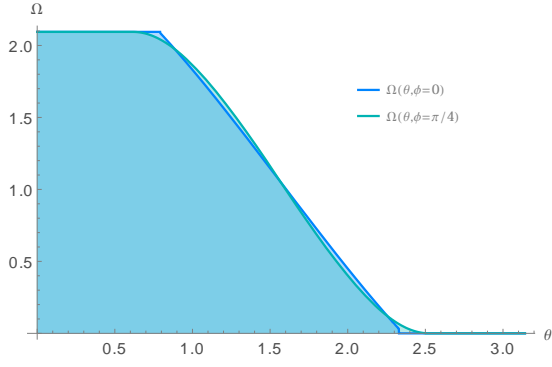
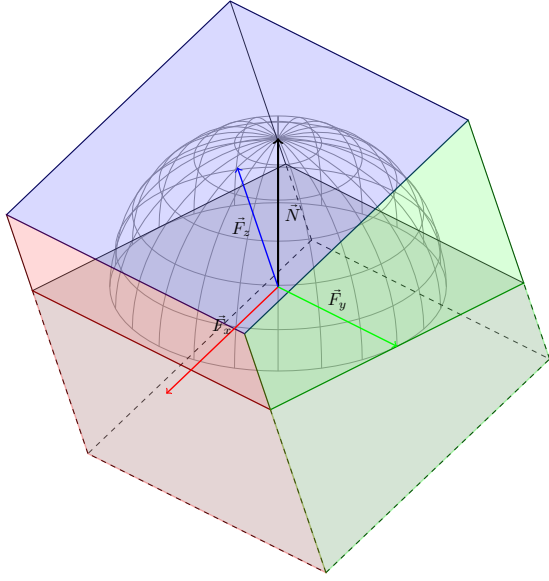

 FIGURE 4.1 – Évolution de $\Omega_F(\vec{n})$ selon l'orientation de \vec{n}


FIGURE 4.2 – Intégration de l'envmap par rapport à une facette

On notera qu'on a bien

$$\sum_{F \in F_{\text{Faces}}} \Omega(F) = 4\pi \quad (4.3.1.9a)$$

$$\forall \vec{n} \sum_{F \in F_{\text{Faces}}} \Omega(F, \vec{n}) = 2\pi \quad (4.3.1.9b)$$

$$\forall \vec{n} \sum_{F \in F_{\text{Faces}}} W_F(\vec{n}) = \pi \quad (4.3.1.9c)$$

Dès lors, l'approximation selon laquelle \mathcal{L} est constante sur chaque face nous donne

$$\begin{aligned} \mathcal{E}(p, \vec{n}) &= \frac{\mathcal{P}_V(p)}{\pi} \sum_{F \in F_{\text{Faces}}} \mathcal{L}_{\text{glob}}(\vec{F}) W_F(\vec{n}) \\ &= \frac{\mathcal{P}_V(p)}{\pi} \sum_{F \in F_{\text{Faces}}} \mathcal{L}_{\text{glob}}(\vec{F}) \iint_F \frac{\vec{\omega} \cdot \vec{n} \times \text{HS}(\vec{\omega} \cdot \vec{n})}{\|\vec{\omega}\|^4} d\omega \end{aligned} \quad (4.3.1.10)$$

4.3.2

Approximation numérique

En considérant la face F_{Z+} on obtient (sans perte de généralité)

$$W_{F_{Z+}}(\vec{n}) = \iint_{[-1;1]^2} \left[\frac{(x \cdot \vec{n}_x + y \cdot \vec{n}_y + \vec{n}_z)}{(x^2 + y^2 + 1)^2} \text{HS}(x \cdot \vec{n}_x + y \cdot \vec{n}_y + \vec{n}_z) dx dy \right] \quad (4.3.2.1)$$

Le problème est alors de trouver un moyen de calculer, ou au moins d'approcher, la fonction $W_F(\vec{n})$. Ce calcul étant par ailleurs fait en chaque nœud du maillage, il est primordial de le faire en utilisant un minimum de ressource, quitte à évaluer une valeur approchée qui affectera le résultat de manière faible comparativement avec l'approximation faite précédemment et selon laquelle \mathcal{L} est constante sur chacune faces.

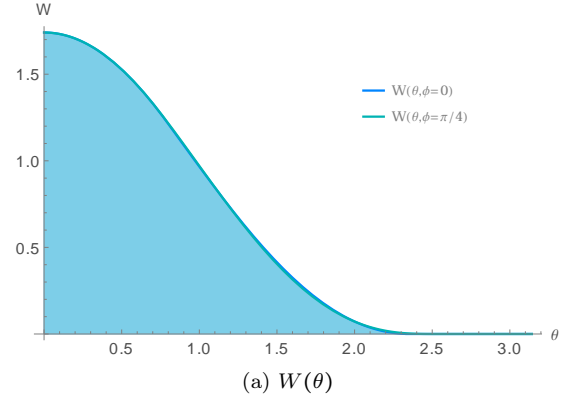
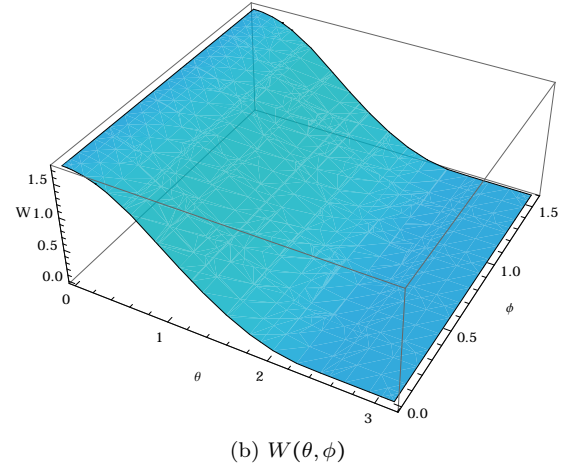

 (a) $W(\theta)$

 (b) $W(\theta, \phi)$

 FIGURE 4.3 – Évolution de $W_F(\vec{n})$ selon l'orientation de \vec{n}

Comme le montre la figure 4.3, la fonction W_F dépendant principalement de θ on tentera de l'approximer par une fonction de $\vec{n} \cdot \vec{F} = \cos(\theta)$

Une approximation simple est la fonction

$$\text{approx} : \cos(\theta) \mapsto \frac{[\max(.75 + \cos(\theta), 0)]^2}{1.75} \quad (4.3.2.2)$$

Comme le montre la figure 4.4, cette fonction est, malgré sa grande simplicité proche de la fonction $W_F(\vec{n})$.

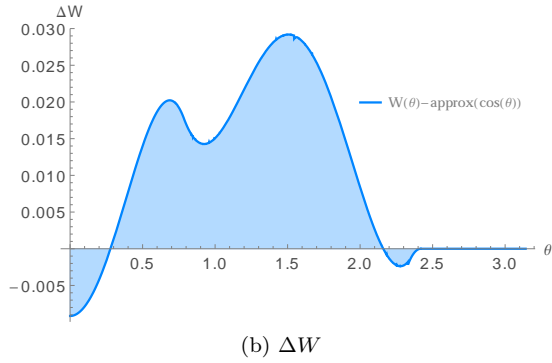
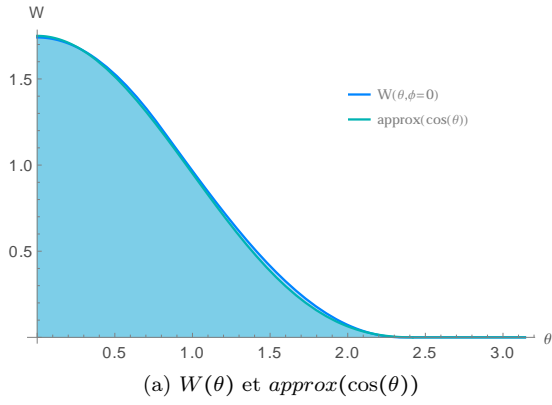


FIGURE 4.4 – Comparaison entre $W_F(\vec{n})$ et $\text{approx}(\cos(\theta))$

4.3.3

Discussion

La méthode développée ici repose sur l'approximation de la formule (4.3.1.10) et plus particulièrement de l'intégrale présenté dans la formule (4.3.1.8). La complexité de cette intégrale réside dans le domaine effectif d'intégration, conditionné à la fois par la forme carré des faces de l'envmap et la présence d'un terme caractéristique de l'hémisphère visible.

Plusieurs formules ont été étudiée pour des domaines d'intégration hémisphériques ou partiellement hémisphérique ainsi que pour des polygones entièrement visibles [Snyder and Report, 1996] (ce qui fait disparaître le terme de HS).

Il aurait été possible d'adapter un modèle polygonale évoqué dans [Snyder and Report, 1996] mais les polygones sur lesquels il aurait fallu intégrer variant selon les conditions de visibilité il aurait été nécessaire d'effectuer de coûteux calculs de géométrie.

L'objectif principal étant ici une grande vitesse d'exécution, l'inexactitude des résultats étant de toute façon largement oubliée au regard des approximations faites précédemment on préféra utiliser une fonction grossièrement approché mais simple à calculer.

Partie 4.4

Ombre

4.4.1

Modèle

Un indice visuel primordial à la vraisemblance visuelle des images produites est la présence d'ombres portées provoquées par l'ajout de l'objet .

La modélisation de l'impact d'un tel ajout peut théoriquement être calculé qu'en connaissant la géométrie de la scène et la nature des matériaux qui la compose.

On fera ici plusieurs hypothèses dans le but d'obtenir un modèle qui soit calculable en temps réels tout en donnant des résultats vraisemblables.

Le calcul d'ombre douce est alors fait en décomposant l'objet en une hiérarchie de sphère comme présenté dans [Iwanicki, 2013] et en sommant les contribution des différentes sphères.

Pour évaluer l'ombre douce projeté par une sphère il suffit alors d'évaluer le manque d'illumination. On rappelle les formules suivantes

$$\mathcal{E}_{\text{ambient}}(p, \vec{n}) = \frac{1}{\pi} \int_{\mathcal{H}^2(\vec{n})} \mathcal{L}_{\text{glob}}(\vec{\omega}) \times \vec{\omega} \cdot \vec{n} d\vec{\omega}$$

$$\mathcal{E}_{\text{ombre}}(p, \vec{n}) = \mathcal{E}_{\text{ambient}}(p, \vec{n}) - \frac{1}{\pi} \int_{\mathcal{S}(p)} \mathcal{L}_{\text{glob}}(\vec{\omega}) \times \vec{\omega} \cdot \vec{n} d\vec{\omega}$$

avec $\mathcal{S}(p)$ la portion de sphère visible depuis la point considéré.

L'ombre est rendu en assombrissant le pixel associé ce point d'un facteur

$$\mathcal{F}(p) = \frac{\mathcal{E}_{\text{ombre}}(p, \vec{n})}{\mathcal{E}_{\text{ambient}}(p, \vec{n})} \quad (4.4.1.1)$$

$$= 1 - \frac{\int_{\mathcal{S}(p)} \mathcal{L}_{\text{glob}}(\vec{\omega}) \times \vec{\omega} \cdot \vec{n} d\vec{\omega}}{\int_{\mathcal{H}^2(\vec{n})} \mathcal{L}_{\text{glob}}(\vec{\omega}) \times \vec{\omega} \cdot \vec{n} d\vec{\omega}} \quad (4.4.1.2)$$

Les différents niveaux de détail de l'envmap nous permettant d'obtenir des approximations de $L(p, \vec{\omega})$ sur $\mathcal{S}(p)$ et sur $\mathcal{H}^2(\vec{n})$ on peut simplifier la formule en :

$$\mathcal{F}(p) = 1 - \frac{\mathcal{L}_{\text{glob}}(\mathcal{S}(p))}{\mathcal{L}_{\text{glob}}(\mathcal{H}^2(\vec{n}))} \left(\frac{1}{\pi} \int_{\mathcal{S}(p)} \vec{\omega} \cdot \vec{n} d\vec{\omega} \right) \quad (4.4.1.3)$$

Le calcul de l'angle solide formé par la sphère, et pondéré par un cosinus est détaillé dans [Snyder and Report, 1996]. On retiendra que dans notre cas ou la sphère est supposée au dessus du plan sur lequel se projettent les ombres :

$$\int_{\mathcal{S}(p)} \vec{\omega} \cdot \vec{n} d\vec{\omega} = \cos(\omega) \sin^2(\alpha) \quad (4.4.1.4)$$

avec α le demi angle sous lequel est vu la sphère et ω l'angle entre la vertical (normale à la surface sur laquelle se projettent les ombres) et la direction de la sphère.

On obtient ainsi :

$$\mathcal{F}(p) = 1 - \cos(\omega) \sin^2(\alpha) \frac{\mathcal{L}_{\text{glob}}(\mathcal{S}(p))}{\mathcal{L}_{\text{glob}}(\mathcal{H}^2(\vec{n}))} \quad (4.4.1.5)$$

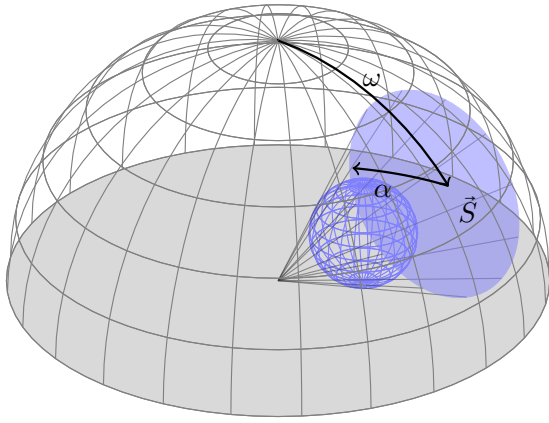


FIGURE 4.5 – Obstruction par une sphere

4.4.2

Discussion

La ou il est habituel de segmenter l'environnement pour en extraire une hiérarchie de sources lumineuses, la méthode proposée ici permet d'évaluer des ombres douces à partir de données d'environnement sans étape de segmentation ni calcul de visibilité.

Un développement intéressant serait de construire une décomposition hiérarchique, potentiellement intégrée dans un octree, et de l'évaluer plus ou moins profondément selon la distance considérée.

Partie 4.5

Reflets spéculaires

Le calcul de l'éclairage ambiant revient à considérer une BRDF purement lambertienne. Afin d'améliorer le réalisme du rendu il convient d'adopter un modèle de Phong en ajoutant une part d'éclairage spéculaire.

Cet éclairage spéculaire permet de rendre de manière intéressante des surfaces métallique, dans la limite d'un seul reflet. Le modèle adopté ici est par ailleurs isotrope, ce qui ne permet pas le rendu de matières comme du métal brossé pour lesquels on retrouve des directions privilégiées.

Dans notre cas l'évaluation du reflet se fait naturellement en calculant la réflexion du rayon incident, donné par la position du point considéré dans l'espace de la caméra, relativement à la normale de l'objet dans ce même espace. On accédera ensuite à la valeur d'éclairage directement dans l'envmap.

Une fois de plus on pourra utiliser les différents niveaux de mipmap à notre avantage, la considération du niveau de mipmap revenant à considérer l'angle d'un cône autour de l'axe du reflet. Un tel cône permet ainsi de caractériser la spécularité de l'objet, cette dernière pouvant varier d'un reflet parfait –miroir– à un reflet plus diffus –plastique–. On utilisera également l'ombre projeté calculé précédemment afin de moduler les reflets.

Partie 4.6

Vers un modèles à micro-facettes

Les modèles employés ici permettent un rendu rapide mais présentes des limitations en terme de qualité. Il serait

intéressant, dans l'optique améliorer encore la qualité du rendu, de considérer un modèle à micro-facette. Le principe des modèles à micro-facette est de considérer la surface de l'objet comme un ensemble de petites faces orientées selon des normales propres à chacune (micro-normales). La distribution statistique des micro-normales autour de la normale géométrique du maillage (macro-normale) permet de déterminer les mécanismes de réflexion. Parmi les nombreux avantages d'une telle méthode il y a la possibilité de caractériser des surfaces anisotropes par le biais de directions privilégiées dans la distribution de facettes.

L'auto-occultation entre facettes, variable selon le point de vue, permet par ailleurs de calculer une normale intermédiaire entre la normale géométrique et les micro-normales des facettes (mézo-normale) qui correspond à l'intégration des micro-normales sur l'ensemble des facettes visible [Bruneton et al., 2010] [Heitz et al., 2013b]. Cette mézo-normale, utilisée à la place de normale géométrique, permet de corriger les reflets sur des surfaces vues sous un angle important.

L'intégration complète d'un tel modèle a été envisagée de la manière suivante :

1. Choix d'une distribution de normale (gaussienne) et étude du modèle associé ;
2. Ajout aux objets 3D d'une texture (optionnelle) caractérisant localement la direction privilégiée et la force de l'anisotropie associée ;
3. Évaluer, dans le fragment shader, la distribution de direction reflétées en fonction de l'angle de vue et des caractéristiques stockées dans la texture ;
4. Évaluer la lumière incidente selon la distribution calculée précédemment.

Au delà des calculs complexes, mais heureusement déjà documentés, du premier point [Heitz et al., 2013a], l'évaluation de l'envmap selon des distributions anisotropes nécessite de lourds calculs. Il serait possible de les réduire fortement via un pré-calcul (convolution) mais dans notre cas le caractère dynamique de l'environnement ne permet pas une telle approche.

Une autre solution est d'approximer cette intégration de l'envmap par le biais d'un filtrage judicieux.

Partie 4.7

Pipeline

Compte tenu des méthodes décrites précédemment, le pipeline de rendu se décompose en différentes parties (voir figure 4.6)

1. L'étape de pré-calcul permet l'évaluation de données propres au modèle. Ces données n'étant pas influencées par la localisation dans l'espace ni par les caractéristiques d'environnement lumineux, il n'est pas nécessaire de les recalculer en temps réel et on préfère donc stocker les résultats pré-calculés.

Ambient : information d'auto-occultation ($\mathcal{P}_V(p)$), stocké dans une `texture2D` ;

Spheres : décomposition de l'objet comme union de sphères, stocké sous forme de `vec4[]`.

figure

explique
que tex-
ture-
Grad
c'est d
la mer
et ça m
marche
pas

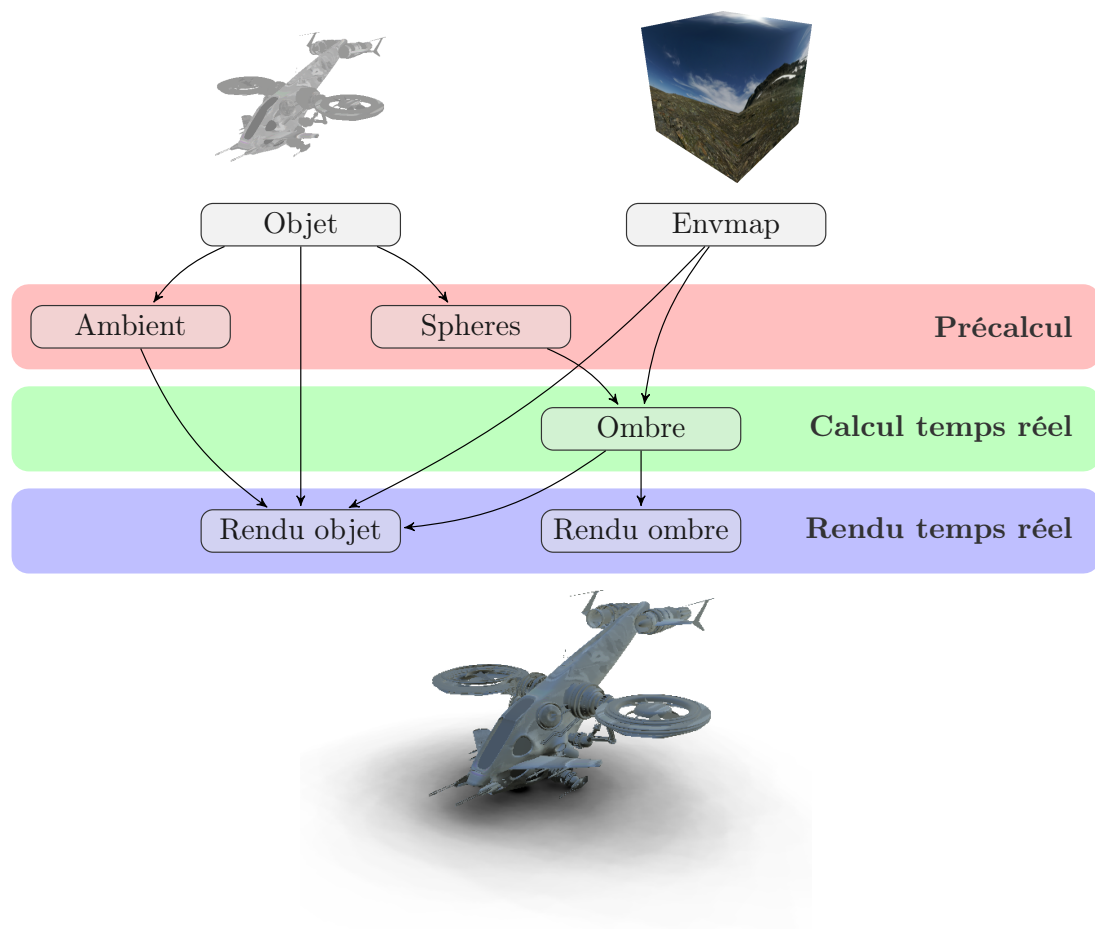


FIGURE 4.6 – Pipeline développé

2. L'étape de calcul temps réel, qui évalue des résultats temporaires nécessaires à la réalisation du rendu final. Ces résultats doivent être réévalués dynamiquement car ils dépendent de paramètres dynamiques tels que les données d'environnement.

Ombre : ombre douce projetée par l'objet, elle dépend de l'environnement lumineux décrit par l'envmap.

3. L'étape de rendu qui produit l'image telle qu'elle est vue par l'utilisateur.

Rendu objet : affichage de l'objet, en tenant compte de l'éclairage ambiant, et des reflets spéculaires ;

Rendu ombre : affichage des ombres en surimpression afin d'intégrer l'objet de manière plus réaliste.

Partie 4.8

Résultats

Precalcul

Partie 5.1

Éclairage ambiant sous forme de texture

Partie 5.2

Decomposition en spheres

L'application

Partie 6.1

Structure

Partie 6.2

Configuration

Partie 6.3

Résultats

Perspectives d'évolution

Partie 7.1

Acquisition HDR

Partie 7.2

BRDF anisotropes

Partie 7.3

Modèles dynamiques

Annexes

Bibliographie

- [Aila, 2005] Aila, T. (2005). Conservative and Tiled Rasterization Using a Modified Triangle Setup. *10(3)* :1–7.
- [Akerlund et al., 2007] Akerlund, O., Unger, M., and Wang, R. (2007). Precomputed Visibility Cuts for Interactive Relighting with Dynamic BRDFs. *15th Pacific Conference on Computer Graphics and Applications (PG'07)*, pages 161–170.
- [ATI,] ATI. ATI Technologies Inc. Diffuse Cube Mapping. pages 4–6.
- [Blinn, 1977] Blinn, J. F. (1977). Models of light reflection for computer synthesized pictures. pages 192–198.
- [Brennan, 2002] Brennan, C. (2002). Accurate Environment Mapped Reflections and Refractions by Adjusting for Object Distance. pages 1–6.
- [Bruneton et al., 2010] Bruneton, E., Neyret, F., and Holzschuch, N. (2010). Real-time Realistic Ocean Lighting using Seamless Transitions from Geometry to BRDF. *Computer Graphics Forum*, 29(2) :487–496.
- [Dupuy et al., 2012] Dupuy, J., Heitz, E., Iehl, J.-c., Poulin, P., Neyret, F., and Ostromoukhov, V. (2012). Linear Efficient Antialiased Displacement and Reflectance Mapping. *32(6)* :1–11.
- [Gibson et al., 2003] Gibson, S., Cook, J., Howard, T., and Hubbold, R. (2003). Rapid Shadow Generation in Real-World Lighting Environments.
- [Gibson et al., 2001] Gibson, S., Howard, T., and Hubbold, R. (2001). Flexible Image-Based Photometric Reconstruction using Virtual Light Sources. *Computer Graphics Forum*, 20(3) :203–214.
- [Gross, 2003] Gross, M. (2003). Algebraic Point Set Surfaces.
- [Havran et al., 2005] Havran, V., Smyk, M., Krawczyk, G., and Myszkowski, K. (2005). Interactive System for Dynamic Scene Lighting using Captured Video Environment Maps.
- [Havran et al., 2003] Havran, V., Smyk, M., Krawczyk, G., Myszkowski, K., and Seidel, H.-P. (2003). Importance Sampling for Video Environment Maps. (*Eurographics*) :2003.
- [Heitz et al., 2013a] Heitz, E., Nowrouzezahrai, D., Poulin, P., and Neyret, F. (2013a). Filtering color mapped textures and surfaces. *Proceedings of the ACM SIGGRAPH Symposium on Interactive 3D Graphics and Games - I3D '13*, page 129.
- [Heitz et al., 2013b] Heitz, E., Nowrouzezahrai, D., Poulin, P., and Neyret, F. (2013b). Filtering Non-Linear Transfer Functions on Surfaces. *IEEE transactions on visualization and computer graphics*, XX(X) :1–14.
- [Heymann et al., 2005] Heymann, S., Smolic, A., and Froehlich, B. (2005). Illumination reconstruction from real-time video for interactive augmented reality. pages 1–4.
- [Igehy, 1999] Igehy, H. (1999). Tracing ray differentials. *Proceedings of the 26th annual conference on Computer graphics and interactive techniques - SIGGRAPH '99*, pages 179–186.
- [Isidoro, 2005] Isidoro, J. R. (2005). Filtering Cubemaps, Angular Extent Filtering and Edge Seam Fixup Methods.
- [Iwanicki, 2013] Iwanicki, M. (2013). Lighting technology of The Last of Us.
- [Khan et al., 2002] Khan, E. A., Reinhard, E., and Fleming, R. W. (2002). Image-Based Material Editing 1.
- [Křivánek and Colbert, 2008] Křivánek, J. and Colbert, M. (2008). Real-time Shading with Filtered Importance Sampling. *Computer Graphics Forum*, 27(4) :1147–1154.
- [Laffont et al., 2012] Laffont, P.-Y., Bousseau, A., and Drettakis, G. (2012). Rich Intrinsic Image Decomposition of Outdoor Scenes from Multiple Views. *IEEE transactions on visualization and computer graphics*, pages 1–16.
- [Lopez-Moreno et al., 2010] Lopez-Moreno, J., Hadap, S., Reinhard, E., and Gutierrez, D. (2010). Compositing images through light source detection. *Computers & Graphics*, 34(6) :698–707.
- [Madsen and Laursen, 2003] Madsen, C. B. and Laursen, R. (2003). A scalable gpu-based approach to shading and shadowing for photorealistic real-time augmented reality.
- [Manson and Schaefer, 2012] Manson, J. and Schaefer, S. (2012). Parameterization-Aware MIP-Mapping. *Computer Graphics Forum*, 31(4) :1455–1463.
- [Marshall and Martin, 1997] Marshall, A. D. and Martin, R. R. (1997). Geometric least-squares fitting of spheres, cylinders, cones and tori. pages 1–20.
- [Mcguire et al., 2013] Mcguire, M., Evangelakos, D., Wilcox, J., Donow, S., and Mara, M. (2013). Plausible Blinn-Phong Reflection of Standard Cube MIP-Maps. pages 1–8.
- [Mercier et al., 2006] Mercier, B., Meneveau, D., and Fournier, A. (2006). A Framework for Automatically Recovering Object Shape, Reflectance and Light

- Sources from Calibrated Images. *International Journal of Computer Vision*, 73(1) :77–93.
- [Oat and Sander, 2006] Oat, C. and Sander, P. (2006). Ambient aperture lighting. *ACM SIGGRAPH 2006 Courses on - SIGGRAPH '06*, page 143.
- [P. Debevec, 2005] P. Debevec (2005). A Median Cut Algorithm for Light Probe Sampling.
- [Parker et al., 1999] Parker, S., Martin, W., Sloan, P.-P. J., Shirley, P., Smits, B., and Hansen, C. (1999). Interactive ray tracing. *Proceedings of the 1999 symposium on Interactive 3D graphics - SI3D '99*, pages 119–126.
- [Rempel et al., 2006] Rempel, A. G., Trentacoste, M., Seetzen, H., Young, H. D., Heidrich, W., Whitehead, L., and Ward, G. (2006). Ldr2Hdr : On-the-fly Reverse Tone Mapping of Legacy Video and Photographs. pages 2–7.
- [Sloan and Corporation,] Sloan, P.-p. and Corporation, M. Stupid Spherical Harmonics (SH) Tricks.
- [Snyder and Report, 1996] Snyder, J. M. and Report, T. (1996). Area Light Sources for Real-Time Graphics.
- [Unger et al., 2008] Unger, J., Gustavson, S., Larsson, P., and Ynnerman, a. (2008). Free Form Incident Light Fields. *Computer Graphics Forum*, 27(4) :1293–1301.
- [Wang and Å kerlund, 2009] Wang, R. and Å kerlund, O. (2009). Bidirectional Importance Sampling for Unstructured Direct Illumination. *Computer Graphics Forum*, 28(2) :269–278.

Liste des tableaux

2.1	Hiérarchie des matrices de transformations	3
-----	--	---

Liste des exemples de code

Liste des figures

2.1	Les différents référentiels	3
4.1	Évolution de $\Omega_F(\vec{n})$ selon l'orientation de \vec{n}	6
4.2	Intégration de l'envmap par rapport à une facette	6
4.3	Évolution de $W_F(\vec{n})$ selon l'orientation de \vec{n}	6
4.4	Comparaison entre $W_F(\vec{n})$ et $approx(\cos(\theta))$	7
4.5	Obstruction par une sphere	8
4.6	Pipeline développé	9